

# Funções de Resumo



**Universidade Federal do Ceará - Campus Quixadá**

Roberto Cabral  
rbcabral@ufc.br

05 de Maio de 2023

Auditoria e Segurança de SI

# Funções de resumo criptográfico

- Uma função de resumo  $h$  mapeia uma string de bits de tamanho arbitrário em uma string de  $n$  bits.

$$h : \{0, 1\}^* \rightarrow \{0, 1\}^n$$

# Funções de resumo criptográfico

- Uma função de resumo  $h$  mapeia uma string de bits de tamanho arbitrário em uma string de  $n$  bits.

$$h : \{0, 1\}^* \rightarrow \{0, 1\}^n$$

- A string de bits gerada é conhecida por *digest* ou valor de resumo.

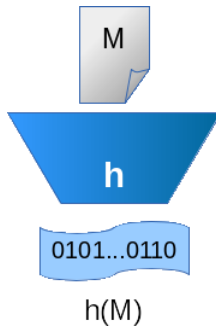
# Funções de resumo criptográfico

- Uma função de resumo  $h$  mapeia uma string de bits de tamanho arbitrário em uma string de  $n$  bits.

$$h : \{0, 1\}^* \rightarrow \{0, 1\}^n$$

- A string de bits gerada é conhecida por *digest* ou valor de resumo.
- Funções de resumo são usadas em várias aplicações criptográficas, como assinatura digital, derivação de chaves, geração de números pseudoaleatórios, dentre outras.

# Funções de resumo criptográfico



# Propriedades de uma função de resumo

- **Resistência à primeira pré-imagem:** Dada uma função  $h : M \rightarrow R$  e um valor de resumo  $r \in R$ , é computacionalmente inviável encontrar uma mensagem  $m \in M$  tal que  $h(m) = r$ .

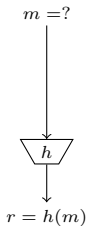
# Propriedades de uma função de resumo

- **Resistência à primeira pré-imagem:** Dada uma função  $h : M \rightarrow R$  e um valor de resumo  $r \in R$ , é computacionalmente inviável encontrar uma mensagem  $m \in M$  tal que  $h(m) = r$ .
- **Resistência à segunda pré-imagem:** Dada uma função  $h : M \rightarrow R$  e uma mensagem  $m_0 \in M$ , é computacionalmente inviável encontrar uma mensagem  $m_1 \in M$  tal que  $m_0 \neq m_1$  e  $h(m_0) = h(m_1)$ .

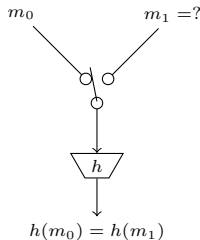
# Propriedades de uma função de resumo

- **Resistência à primeira pré-imagem:** Dada uma função  $h : M \rightarrow R$  e um valor de resumo  $r \in R$ , é computacionalmente inviável encontrar uma mensagem  $m \in M$  tal que  $h(m) = r$ .
- **Resistência à segunda pré-imagem:** Dada uma função  $h : M \rightarrow R$  e uma mensagem  $m_0 \in M$ , é computacionalmente inviável encontrar uma mensagem  $m_1 \in M$  tal que  $m_0 \neq m_1$  e  $h(m_0) = h(m_1)$ .
- **Resistência à colisão:** Dada uma função  $h : M \rightarrow R$ , é computacionalmente inviável encontrar duas mensagens  $m_0, m_1 \in M$  tal que  $m_0 \neq m_1$  e  $h(m_0) = h(m_1)$ .

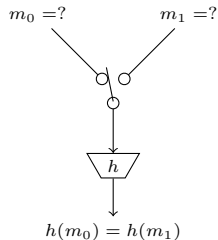




(a) Pré-imagem.



(b) Segunda pré-imagem.



(c) Colisões.

Uma função de resumo resistente a colisões também é resistente à segunda pré-imagem! Entretanto, uma função de resumo ser resistente à colisão não garante que ela seja resistente à primeira pré-imagem

# Oráculo Aleatório

- O oráculo aleatório pode ser visto como uma caixa preta.

# Oráculo Aleatório

- O oráculo aleatório pode ser visto como uma caixa preta.
- Ele recebe como entrada uma cadeia de *bits* de tamanho variado e retorna uma cadeia de *bits* de tamanho arbitrário.

# Oráculo Aleatório

- O oráculo aleatório pode ser visto como uma caixa preta.
- Ele recebe como entrada uma cadeia de *bits* de tamanho variado e retorna uma cadeia de *bits* de tamanho arbitrário.
- Qualquer um pode interagir com ele, seja uma entidade honesta ou um atacante.

# Oráculo Aleatório

- O oráculo aleatório pode ser visto como uma caixa preta.
- Ele recebe como entrada uma cadeia de *bits* de tamanho variado e retorna uma cadeia de *bits* de tamanho arbitrário.
- Qualquer um pode interagir com ele, seja uma entidade honesta ou um atacante.
- O modelo do oráculo aleatório foi introduzido em 1993 por Mihir Bellare e Phillip Rogaway e fornece uma metodologia formal que pode ser usada no projeto e validação de esquemas criptográficos.

# Paradoxo do Aniversário

- É um problema clássico que demonstra como resultados em probabilidade podem ser contra-intuitivos para o cérebro humano.

# Paradoxo do Aniversário

- É um problema clássico que demonstra como resultados em probabilidade podem ser contra-intuitivos para o cérebro humano.

## Definição

Qual é o menor valor de  $n$  para que a probabilidade de duas pessoas em uma sala com  $n$  pessoas compartilhem a mesma data de aniversário com probabilidade maior que 50%?

# Paradoxo do Aniversário

- É um problema clássico que demonstra como resultados em probabilidade podem ser contra-intuitivos para o cérebro humano.

## Definição

Qual é o menor valor de  $n$  para que a probabilidade de duas pessoas em uma sala com  $n$  pessoas compartilhem a mesma data de aniversário com probabilidade maior que 50%?

- Fazendo umas continhas, é possível ver que serão 'aproximadamente'  $1,17 * \sqrt{365}$ .



# Paradoxo do Aniversário

- É um problema clássico que demonstra como resultados em probabilidade podem ser contra-intuitivos para o cérebro humano.

## Definição

Qual é o menor valor de  $n$  para que a probabilidade de duas pessoas em uma sala com  $n$  pessoas compartilhem a mesma data de aniversário com probabilidade maior que 50%?

- Fazendo umas continhas, é possível ver que serão 'aproximadamente'  $1,17 * \sqrt{365}$ .
- Se estendermos o conceito para funções de resumo, temos que a probabilidade de encontrarmos uma colisão em uma função de resumo gira em torno de raiz quadrada do tamanho da saída da função.

## Nível de segurança atingível pelas funções de resumo.

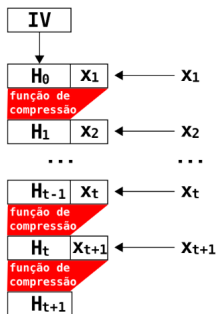
Propriedades	Nível de segurança em <i>bits</i>
Primeira pré-imagem	$n$
Segunda pré-imagem	$n$
Colisão	$\frac{n}{2}$

# Construção Merkle-Damgård

- Uma forma de construir funções de resumo é projetar uma função de compressão resistente à colisão com tamanho de entrada fixo e então usar extensão de domínio para criar uma função com tamanho de entrada arbitrário.

# Construção Merkle-Damgård

- Uma forma de construir funções de resumo é projetar uma função de compressão resistente à colisão com tamanho de entrada fixo e então usar extensão de domínio para criar uma função com tamanho de entrada arbitrário.
- Esse método foi usado no projeto do MD5, SHA-1 e SHA-2.



# Construção Esponja

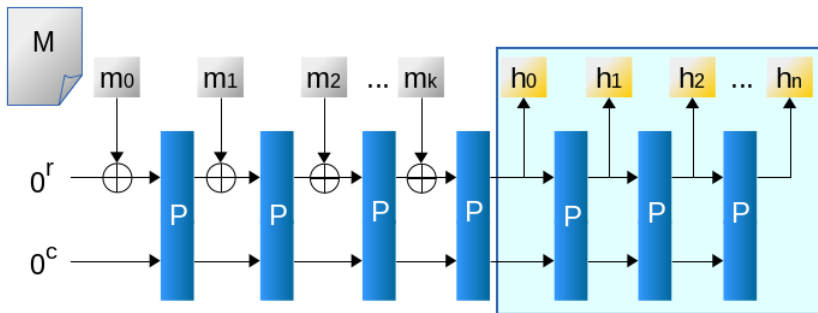
## Definição

A construção esponja é um modo de operação baseado em uma permutação de tamanho fixo e uma regra de preenchimento que constrói uma função que mapeia entradas de tamanho arbitrário em saídas de tamanho variado.

# Construção Esponja

## Definição

A construção esponja é um modo de operação baseado em uma permutação de tamanho fixo e uma regra de preenchimento que constrói uma função que mapeia entradas de tamanho arbitrário em saídas de tamanho variado.



# SHA-1

- E 1993, o NIST anuncia um algoritmo padrão para funções de resumo criptográfico denominado *Standart Hash Algorithm*.

# SHA-1

- E 1993, o NIST anuncia um algoritmo padrão para funções de resumo criptográfico denominado *Standart Hash Algorithm*.
- O algoritmo foi projetado pela NSA e usa a construção Merkle-Damgård.



# SHA-1

- E 1993, o NIST anuncia um algoritmo padrão para funções de resumo criptográfico denominado *Standart Hash Algorithm*.
- O algoritmo foi projetado pela NSA e usa a construção Merkle-Damgård.
- Pouco tempo depois, foi anunciada a anulação do algoritmo e, em 1995, outro algoritmo é publicado, o SHA-1.

# SHA-1

- E 1993, o NIST anuncia um algoritmo padrão para funções de resumo criptográfico denominado *Standart Hash Algorithm*.
- O algoritmo foi projetado pela NSA e usa a construção Merkle-Damgård.
- Pouco tempo depois, foi anunciada a anulação do algoritmo e, em 1995, outro algoritmo é publicado, o SHA-1.
- O primeiro algoritmo passou a ser chamado pela comunidade como SHA-0.

# SHA-1

- E 1993, o NIST anuncia um algoritmo padrão para funções de resumo criptográfico denominado *Standart Hash Algorithm*.
- O algoritmo foi projetado pela NSA e usa a construção Merkle-Damgård.
- Pouco tempo depois, foi anunciada a anulação do algoritmo e, em 1995, outro algoritmo é publicado, o SHA-1.
- O primeiro algoritmo passou a ser chamado pela comunidade como SHA-0.
- A Diferença do SHA-1 para o SHA-0 é apenas uma rotação na etapa inicial do processamento das palavras que compõem um bloco da mensagem.

# SHA-2

- Com suspeitas cada vez maiores de vulnerabilidade no SHA-1 e com o advento de novas tecnologias, a NSA projetou em 2001 a versão seguinte da família SHA.

# SHA-2

- Com suspeitas cada vez maiores de vulnerabilidade no SHA-1 e com o advento de novas tecnologias, a NSA projetou em 2001 a versão seguinte da família SHA.
- O SHA-2 é composto por quatro algoritmos:

# SHA-2

- Com suspeitas cada vez maiores de vulnerabilidade no SHA-1 e com o advento de novas tecnologias, a NSA projetou em 2001 a versão seguinte da família SHA.
- O SHA-2 é composto por quatro algoritmos:
  - SHA-224

# SHA-2

- Com suspeitas cada vez maiores de vulnerabilidade no SHA-1 e com o advento de novas tecnologias, a NSA projetou em 2001 a versão seguinte da família SHA.
- O SHA-2 é composto por quatro algoritmos:
  - SHA-224
  - SHA-256

# SHA-2

- Com suspeitas cada vez maiores de vulnerabilidade no SHA-1 e com o advento de novas tecnologias, a NSA projetou em 2001 a versão seguinte da família SHA.
- O SHA-2 é composto por quatro algoritmos:
  - SHA-224
  - SHA-256
  - SHA-384



# SHA-2

- Com suspeitas cada vez maiores de vulnerabilidade no SHA-1 e com o advento de novas tecnologias, a NSA projetou em 2001 a versão seguinte da família SHA.
- O SHA-2 é composto por quatro algoritmos:
  - SHA-224
  - SHA-256
  - SHA-384
  - SHA-512

# SHA-2

- Com suspeitas cada vez maiores de vulnerabilidade no SHA-1 e com o advento de novas tecnologias, a NSA projetou em 2001 a versão seguinte da família SHA.
- O SHA-2 é composto por quatro algoritmos:
  - SHA-224
  - SHA-256
  - SHA-384
  - SHA-512
- O SHA-2 pode ser descrito como duas etapas:

# SHA-2

- Com suspeitas cada vez maiores de vulnerabilidade no SHA-1 e com o advento de novas tecnologias, a NSA projetou em 2001 a versão seguinte da família SHA.
- O SHA-2 é composto por quatro algoritmos:
  - SHA-224
  - SHA-256
  - SHA-384
  - SHA-512
- O SHA-2 pode ser descrito como duas etapas:
  - Pré-processamento, onde a mensagem é preenchida e dividida em blocos de 512 bits (ou 1024, dependendo do algoritmo).

# SHA-2

- Com suspeitas cada vez maiores de vulnerabilidade no SHA-1 e com o advento de novas tecnologias, a NSA projetou em 2001 a versão seguinte da família SHA.
- O SHA-2 é composto por quatro algoritmos:
  - SHA-224
  - SHA-256
  - SHA-384
  - SHA-512
- O SHA-2 pode ser descrito como duas etapas:
  - Pré-processamento, onde a mensagem é preenchida e dividida em blocos de 512 bits (ou 1024, dependendo do algoritmo).
  - Cálculo do valor de resumo.

## Concurso SHA-3

- Foram recebidas 64 propostas de algoritmos, dentre as quais 51 foram selecionadas para a primeira etapa, em Outubro de 2008.

## Concurso SHA-3

- Foram recebidas 64 propostas de algoritmos, dentre as quais 51 foram selecionadas para a primeira etapa, em Outubro de 2008.
- Para a segunda etapa, que teve seu início em Julho de 2009, foram selecionados 14 candidatos.

## Concurso SHA-3

- Foram recebidas 64 propostas de algoritmos, dentre as quais 51 foram selecionadas para a primeira etapa, em Outubro de 2008.
- Para a segunda etapa, que teve seu início em Julho de 2009, foram selecionados 14 candidatos.
- Para a terceira e última etapa, iniciada em 2011, foram selecionados cinco candidatos: BLAKE, Grøstl, JH, Keccak e Skein.

## Concurso SHA-3

- Foram recebidas 64 propostas de algoritmos, dentre as quais 51 foram selecionadas para a primeira etapa, em Outubro de 2008.
- Para a segunda etapa, que teve seu início em Julho de 2009, foram selecionados 14 candidatos.
- Para a terceira e última etapa, iniciada em 2011, foram selecionados cinco candidatos: BLAKE, Grøstl, JH, Keccak e Skein.
- Em 2012, Keccak foi escolhido como o vencedor.



## Concurso SHA-3

- Foram recebidas 64 propostas de algoritmos, dentre as quais 51 foram selecionadas para a primeira etapa, em Outubro de 2008.
- Para a segunda etapa, que teve seu início em Julho de 2009, foram selecionados 14 candidatos.
- Para a terceira e última etapa, iniciada em 2011, foram selecionados cinco candidatos: BLAKE, Grøstl, JH, Keccak e Skein.
- Em 2012, Keccak foi escolhido como o vencedor.
- O Keccak baseia-se na **construção esponja** e foi criado por Guido Bertoni *et al.* [?].

## Concurso SHA-3

- Foram recebidas 64 propostas de algoritmos, dentre as quais 51 foram selecionadas para a primeira etapa, em Outubro de 2008.
- Para a segunda etapa, que teve seu início em Julho de 2009, foram selecionados 14 candidatos.
- Para a terceira e última etapa, iniciada em 2011, foram selecionados cinco candidatos: BLAKE, Grøstl, JH, Keccak e Skein.
- Em 2012, Keccak foi escolhido como o vencedor.
- O Keccak baseia-se na **construção esponja** e foi criado por Guido Bertoni *et al.* [?].
- O processo de padronização teve fim em Agosto de 2015, culminando no documento FIPS 202 [?].

0.1

Construção Esponja

# Construção Esponja

- A Construção Esponja foi criada por Guido Bertoni, Joan Daemen, Michaël Peeters e Gilles Van Assche.

# Construção Esponja

- A Construção Esponja foi criada por Guido Bertoni, Joan Daemen, Michaël Peeters e Gilles Van Assche.
- É uma função de mapeamento que recebe como entrada dados de comprimento variável e gera como saída uma mensagem também de comprimento variável.

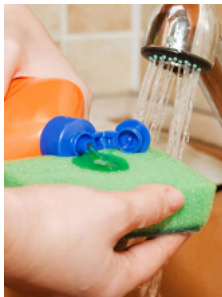
# Construção Esponja

- A Construção Esponja foi criada por Guido Bertoni, Joan Daemen, Michaël Peeters e Gilles Van Assche.
- É uma função de mapeamento que recebe como entrada dados de comprimento variável e gera como saída uma mensagem também de comprimento variável.
- Baseia-se em uma permutação de comprimento fixo, uma regra de preenchimento e uma taxa de bits  $r$ .

# Construção Esponja

- A Construção Esponja foi criada por Guido Bertoni, Joan Daemen, Michaël Peeters e Gilles Van Assche.
- É uma função de mapeamento que recebe como entrada dados de comprimento variável e gera como saída uma mensagem também de comprimento variável.
- Baseia-se em uma permutação de comprimento fixo, uma regra de preenchimento e uma taxa de bits  $r$ .
- A função esponja pode ser usada para modelar ou implementar a maioria das primitivas criptográficas, incluindo função hash, códigos de autenticação de mensagens, cifra de fluxo, cifra de bloco, gerador de números pseudoaleatórios e autenticação.

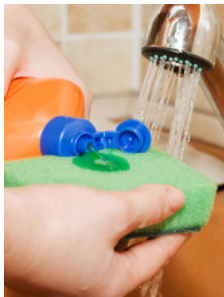
# Construção Esponja



Fase de Inicialização



# Construção Esponja

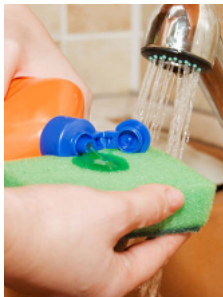


Fase de Inicialização



Fase de Absorção

# Construção Esponja



Fase de Inicialização

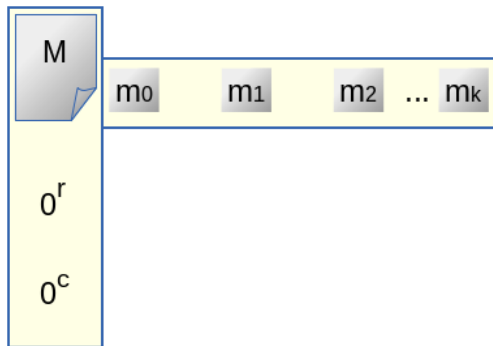


Fase de Absorção



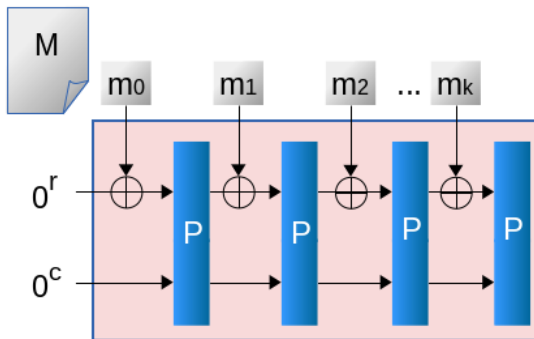
Fase de extração

# Construção Esponja



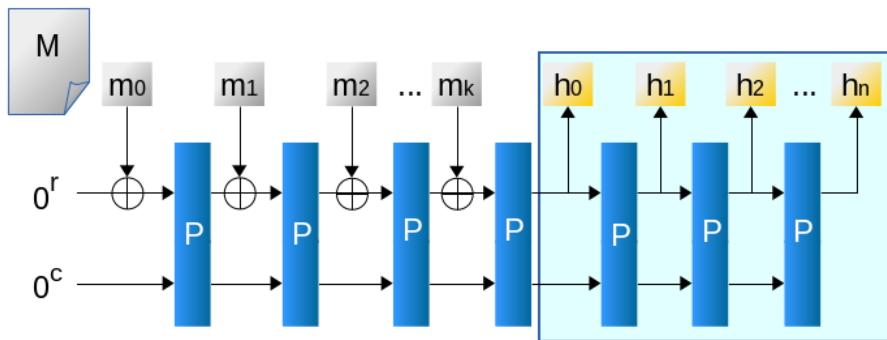
**Fase de inicialização:** O estado é inicializado com zeros e a mensagem é dividida em  $k$  blocos de  $r$  bits.

# Construção Esponja



**Fase de Absorção:** é aplicada uma operação XOR entre um bloco  $m_i$  com os primeiros  $r$  bits do estado atual. Então, o estado é atualizado por meio de uma permutação  $P$ .

# Construção Esponja



**Fase de extração:** os primeiros  $r$  bits do estado são usados como saída;

0.2

Família SHA-3

# Família SHA-3

- A família SHA-3 é composta por quatro funções de resumo e duas funções com saída variável (XOF - *Extendable-Output Function*).

# Família SHA-3

- A família SHA-3 é composta por quatro funções de resumo e duas funções com saída variável (XOF - *Extendable-Output Function*).

Funções	Taxa de bits ( $r$ )	Capacidade ( $c$ )	Nível de segurança
SHA-3 <sub>224</sub>	1,152	448	112
SHA-3 <sub>256</sub>	1,088	512	128
SHA-3 <sub>384</sub>	832	768	192
SHA-3 <sub>512</sub>	576	1,024	256
SHAKE <sub>128</sub>	1,344	256	$\min(d/2, 128)$
SHAKE <sub>256</sub>	1,088	512	$\min(d/2, 256)$

Nas funções XOF,  $d$  representa o número de bits produzidos.



## Funções com saída variável (XOF)

- Uma função com saída variável mapeia uma cadeia de bits de tamanho arbitrário em uma cadeia de bits de tamanho variável  $d$ .

## Funções com saída variável (XOF)

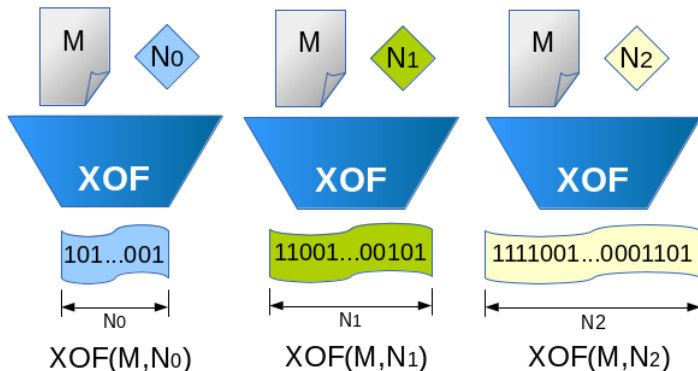
- Uma função com saída variável mapeia uma cadeia de bits de tamanho arbitrário em uma cadeia de bits de tamanho variável  $d$ .

$$\text{XOF} : \{0, 1\}^* \times d \in \mathbb{N} \longrightarrow \{0, 1\}^d$$

# Funções com saída variável (XOF)

- Uma função com saída variável mapeia uma cadeia de bits de tamanho arbitrário em uma cadeia de bits de tamanho variável  $d$ .

$$\text{XOF} : \{0, 1\}^* \times d \in \mathbb{N} \longrightarrow \{0, 1\}^d$$



0.3

Função de Permutação  $P$

# Função de Permutação $P$

O estado  $S$  é composto por  $r + c = 1600$  bits e pode ser representado por uma matriz de  $5 \times 5 \times 64$  bits.

# Função de Permutação $P$

O estado  $S$  é composto por  $r + c = 1600$  bits e pode ser representado por uma matriz de  $5 \times 5 \times 64$  bits.

$$S = \begin{bmatrix} s_0 & s_1 & s_2 & s_3 & s_4 \\ s_5 & s_6 & s_7 & s_8 & s_9 \\ s_{10} & s_{11} & s_{12} & s_{13} & s_{14} \\ s_{15} & s_{16} & s_{17} & s_{18} & s_{19} \\ s_{20} & s_{21} & s_{22} & s_{23} & s_{24} \end{bmatrix} ; S[x, y] = s_{5x+y} \text{ para } 0 \leq x, y < 5.$$

# Função de Permutação $P$

$$P : S \longrightarrow S'$$

# Função de Permutação $P$

$$P : S \longrightarrow S'$$

 $\theta$  $\iota$  $\rho$  $\chi$  $\pi$



# Etapas de mapeamento

**Entrada:** Estado  $S$  e  $i_r$  o índice da rodada.

**Salida:** Estado  $S$  atualizado.

*Etapas de mapeamento  $\theta$*

*Etapas de mapeamento  $\rho$  e  $\pi$*

*Etapas de mapeamento  $\chi$*

*Etapas de mapeamento  $\iota$*

*Etapas de mapeamento  $\iota$*

1: **return**  $S$

## Etapa de mapeamento $\theta$

- Neste etapa, é aplicada uma operação XOR de cada elemento  $i$  com a paridade da coluna  $i - 1$  e a paridade da coluna  $i + 1$  rotada um bit.

## Etapa de mapeamento $\theta$

- Neste etapa, é aplicada uma operação XOR de cada elemento  $i$  com a paridade da coluna  $i - 1$  e a paridade da coluna  $i + 1$  rotada um bit.

$S =$

$s_0$	$s_1$	$s_2$	$s_3$	$s_4$
$s_5$	$s_6$	$s_7$	$s_8$	$s_9$
$s_{10}$	$s_{11}$	$s_{12}$	$s_{13}$	$s_{14}$
$s_{15}$	$s_{16}$	$s_{17}$	$s_{18}$	$s_{19}$
$s_{20}$	$s_{21}$	$s_{22}$	$s_{23}$	$s_{24}$

# Etapa de mapeamento $\theta$

- Neste etapa, é aplicada uma operação XOR de cada elemento  $i$  com a paridade da coluna  $i - 1$  e a paridade da coluna  $i + 1$  rotada um bit.

$S =$

$s_0$	$s_1$	$s_2$	$s_3$	$s_4$
$s_5$	$s_6$	$s_7$	$s_8$	$s_9$
$s_{10}$	$s_{11}$	$s_{12}$	$s_{13}$	$s_{14}$
$s_{15}$	$s_{16}$	$s_{17}$	$s_{18}$	$s_{19}$
$s_{20}$	$s_{21}$	$s_{22}$	$s_{23}$	$s_{24}$

$$P_{i-1}$$

## Etapa de mapeamento $\theta$

- Neste etapa, é aplicada uma operação XOR de cada elemento  $i$  com a paridade da coluna  $i - 1$  e a paridade da coluna  $i + 1$  rotada um bit.

$$S =$$

$s_0$	$s_1$	$s_2$	$s_3$	$s_4$
$s_5$	$s_6$	$s_7$	$s_8$	$s_9$
$s_{10}$	$s_{11}$	$s_{12}$	$s_{13}$	$s_{14}$
$s_{15}$	$s_{16}$	$s_{17}$	$s_{18}$	$s_{19}$
$s_{20}$	$s_{21}$	$s_{22}$	$s_{23}$	$s_{24}$

$$\boxed{P_{i-1}} \oplus \boxed{P'_{i+1}}$$

$$\boxed{P'_{i+1}} = \text{ROT}(P_{i+1}, 1)$$

## Etapa de mapeamento $\theta$

- Neste etapa, é aplicada uma operação XOR de cada elemento  $i$  com a paridade da coluna  $i - 1$  e a paridade da coluna  $i + 1$  rotada um bit.

$$S =$$

$s_0$	$s_1$	$s_2$	$s_3$	$s_4$
$s_5$	$s_6$	$s_7$	$s_8$	$s_9$
$s_{10}$	$s_{11}$	$s_{12}$	$s_{13}$	$s_{14}$
$s_{15}$	$s_{16}$	$s_{17}$	$s_{18}$	$s_{19}$
$s_{20}$	$s_{21}$	$s_{22}$	$s_{23}$	$s_{24}$

$$s_{12} \oplus P_{i-1} \oplus P'_{i+1} = s_{12'}$$

$$P'_{i+1} = \text{ROT}(P_{i+1}, 1)$$

## Etapa de mapeamento $\theta$

- Neste etapa, é aplicada uma operação XOR de cada elemento  $i$  com a paridade da coluna  $i - 1$  e a paridade da coluna  $i + 1$  rotada um bit.

$$S =$$

$s_0$	$s_1$	$s_2$	$s_3$	$s_4$
$s_5$	$s_6$	$s_7$	$s_8$	$s_9$
$s_{10}$	$s_{11}$	$s_{12}'$	$s_{13}$	$s_{14}$
$s_{15}$	$s_{16}$	$s_{17}$	$s_{18}$	$s_{19}$
$s_{20}$	$s_{21}$	$s_{22}$	$s_{23}$	$s_{24}$

$$s_{12} \oplus P_{i-1} \oplus P'_{i+1} = s_{12}'$$

$$P'_{i+1} = \text{ROT}(P_{i+1}, 1)$$

# Etapas de mapeamento

**Entrada:** Estado  $S$  e  $i_r$  o índice da rodada.

**Salida:** Estado  $S$  atualizado.

*Etapas de mapeamento  $\theta$*

- 1:  $C_y = s_{0+y} \oplus s_{5+y} \oplus s_{10+y} \oplus s_{15+y} \oplus s_{20+y}$  para  $0 \leq y < 5$
- 2:  $D_x = C_{(x-1) \bmod 5} \oplus (\text{ROT}(C_{(x+1) \bmod 5}, 1))$  para  $0 \leq x < 5$
- 3:  $s_{5x+y} = s_{5x+y} \oplus D_x$  para  $0 \leq x, y < 5$

*Etapas de mapeamento  $\rho$  e  $\pi$*

*Etapas de mapeamento  $\chi$*

*Etapas de mapeamento  $\iota$*

*Etapas de mapeamento  $\iota$*

- 4: **return**  $S$



# Etapa de mapeamento $\rho$

$$P : S \longrightarrow S'$$

$$\begin{array}{ccc} & \theta & \\ & \searrow & \\ \iota & & \rho \end{array}$$

 $\chi$ 
 $\pi$

## Etapa de mapeamento $\rho$

- Nesta etapa, cada palavra do estado será rodada uma quantidade fixa de bits.

## Etapa de mapeamento $\rho$

- Nesta etapa, cada palavra do estado será rodada uma quantidade fixa de bits.

$$S =$$

$s_0$	$s_1$	$s_2$	$s_3$	$s_4$
$s_5$	$s_6$	$s_7$	$s_8$	$s_9$
$s_{10}$	$s_{11}$	$s_{12}$	$s_{13}$	$s_{14}$
$s_{15}$	$s_{16}$	$s_{17}$	$s_{18}$	$s_{19}$
$s_{20}$	$s_{21}$	$s_{22}$	$s_{23}$	$s_{24}$

## Etapa de mapeamento $\rho$

- Nesta etapa, cada palavra do estado será rodada uma quantidade fixa de bits.

$$S =$$

$s_0$	$s_1$	$s_2$	$s_3$	$s_4$
$s_5$	$s_6$	$s_7$	$s_8$	$s_9$
$s_{10}$	$s_{11}$	$s_{12}$	$s_{13}$	$s_{14}$
$s_{15}$	$s_{16}$	$s_{17}$	$s_{18}$	$s_{19}$
$s_{20}$	$s_{21}$	$s_{22}$	$s_{23}$	$s_{24}$

$$\boxed{s_0'} = \text{ROT}(s_0, 0)$$

## Etapa de mapeamento $\rho$

- Nesta etapa, cada palavra do estado será rodada uma quantidade fixa de bits.

$$S =$$

$s_0$	$s_1$	$s_2$	$s_3$	$s_4$
$s_5$	$s_6$	$s_7$	$s_8$	$s_9$
$s_{10}$	$s_{11}$	$s_{12}$	$s_{13}$	$s_{14}$
$s_{15}$	$s_{16}$	$s_{17}$	$s_{18}$	$s_{19}$
$s_{20}$	$s_{21}$	$s_{22}$	$s_{23}$	$s_{24}$

$s_{0'}$
----------

$$S' =$$

## Etapa de mapeamento $\rho$

- Nesta etapa, cada palavra do estado será rodada uma quantidade fixa de bits.

$$S =$$

$s_0$	$s_1$	$s_2$	$s_3$	$s_4$
$s_5$	$s_6$	$s_7$	$s_8$	$s_9$
$s_{10}$	$s_{11}$	$s_{12}$	$s_{13}$	$s_{14}$
$s_{15}$	$s_{16}$	$s_{17}$	$s_{18}$	$s_{19}$
$s_{20}$	$s_{21}$	$s_{22}$	$s_{23}$	$s_{24}$

$$s_{1'} = \text{ROT}(s_1, 1)$$

$$s_{0'}$$

$$S' =$$

## Etapa de mapeamento $\rho$

- Nesta etapa, cada palavra do estado será rodada uma quantidade fixa de bits.

$$S =$$

$s_0$	$s_1$	$s_2$	$s_3$	$s_4$
$s_5$	$s_6$	$s_7$	$s_8$	$s_9$
$s_{10}$	$s_{11}$	$s_{12}$	$s_{13}$	$s_{14}$
$s_{15}$	$s_{16}$	$s_{17}$	$s_{18}$	$s_{19}$
$s_{20}$	$s_{21}$	$s_{22}$	$s_{23}$	$s_{24}$

$s_{0'}$	$s_{1'}$
----------	----------

$$S' =$$

## Etapa de mapeamento $\rho$

- Nesta etapa, cada palavra do estado será rodada uma quantidade fixa de bits.

$$S =$$

$s_0$	$s_1$	$s_2$	$s_3$	$s_4$
$s_5$	$s_6$	$s_7$	$s_8$	$s_9$
$s_{10}$	$s_{11}$	$s_{12}$	$s_{13}$	$s_{14}$
$s_{15}$	$s_{16}$	$s_{17}$	$s_{18}$	$s_{19}$
$s_{20}$	$s_{21}$	$s_{22}$	$s_{23}$	$s_{24}$

$$s_{2'} = \text{ROT}(s_2, 62)$$

$s_{0'}$	$s_{1'}$
----------	----------

$$S' =$$



## Etapa de mapeamento $\rho$

- Nesta etapa, cada palavra do estado será rodada uma quantidade fixa de bits.

$$S =$$

$s_0$	$s_1$	$s_2$	$s_3$	$s_4$
$s_5$	$s_6$	$s_7$	$s_8$	$s_9$
$s_{10}$	$s_{11}$	$s_{12}$	$s_{13}$	$s_{14}$
$s_{15}$	$s_{16}$	$s_{17}$	$s_{18}$	$s_{19}$
$s_{20}$	$s_{21}$	$s_{22}$	$s_{23}$	$s_{24}$

$s_{0'}$	$s_{1'}$	$s_{2'}$
----------	----------	----------

$$S' =$$

## Etapa de mapeamento $\rho$

- Nesta etapa, cada palavra do estado será rodada uma quantidade fixa de bits.

$$S =$$

$s_0$	$s_1$	$s_2$	$s_3$	$s_4$
$s_5$	$s_6$	$s_7$	$s_8$	$s_9$
$s_{10}$	$s_{11}$	$s_{12}$	$s_{13}$	$s_{14}$
$s_{15}$	$s_{16}$	$s_{17}$	$s_{18}$	$s_{19}$
$s_{20}$	$s_{21}$	$s_{22}$	$s_{23}$	$s_{24}$

$$s_{3'} = \text{ROT}(s_3, 28)$$

$s_{0'}$	$s_{1'}$	$s_{2'}$
----------	----------	----------

$$S' =$$

## Etapa de mapeamento $\rho$

- Nesta etapa, cada palavra do estado será rodada uma quantidade fixa de bits.

$$S =$$

$s_0$	$s_1$	$s_2$	$s_3$	$s_4$
$s_5$	$s_6$	$s_7$	$s_8$	$s_9$
$s_{10}$	$s_{11}$	$s_{12}$	$s_{13}$	$s_{14}$
$s_{15}$	$s_{16}$	$s_{17}$	$s_{18}$	$s_{19}$
$s_{20}$	$s_{21}$	$s_{22}$	$s_{23}$	$s_{24}$

$s_{0'}$	$s_{1'}$	$s_{2'}$	$s_{3'}$
----------	----------	----------	----------

$$S' =$$

## Etapa de mapeamento $\rho$

- Nesta etapa, cada palavra do estado será rodada uma quantidade fixa de bits.

$$S =$$

$s_0$	$s_1$	$s_2$	$s_3$	$s_4$
$s_5$	$s_6$	$s_7$	$s_8$	$s_9$
$s_{10}$	$s_{11}$	$s_{12}$	$s_{13}$	$s_{14}$
$s_{15}$	$s_{16}$	$s_{17}$	$s_{18}$	$s_{19}$
$s_{20}$	$s_{21}$	$s_{22}$	$s_{23}$	$s_{24}$

$$s_{4'} = \text{ROT}(s_4, 27)$$

$s_{0'}$	$s_{1'}$	$s_{2'}$	$s_{3'}$
----------	----------	----------	----------

$$S' =$$

## Etapa de mapeamento $\rho$

- Nesta etapa, cada palavra do estado será rodada uma quantidade fixa de bits.

$$S =$$

$s_0$	$s_1$	$s_2$	$s_3$	$s_4$
$s_5$	$s_6$	$s_7$	$s_8$	$s_9$
$s_{10}$	$s_{11}$	$s_{12}$	$s_{13}$	$s_{14}$
$s_{15}$	$s_{16}$	$s_{17}$	$s_{18}$	$s_{19}$
$s_{20}$	$s_{21}$	$s_{22}$	$s_{23}$	$s_{24}$

$s_{0'}$	$s_{1'}$	$s_{2'}$	$s_{3'}$	$s_{4'}$
----------	----------	----------	----------	----------

$$S' =$$

## Etapa de mapeamento $\rho$

- Nesta etapa, cada palavra do estado será rodada uma quantidade fixa de bits.

$$S =$$

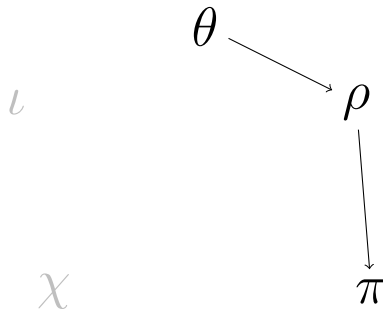
$s_0$	$s_1$	$s_2$	$s_3$	$s_4$
$s_5$	$s_6$	$s_7$	$s_8$	$s_9$
$s_{10}$	$s_{11}$	$s_{12}$	$s_{13}$	$s_{14}$
$s_{15}$	$s_{16}$	$s_{17}$	$s_{18}$	$s_{19}$
$s_{20}$	$s_{21}$	$s_{22}$	$s_{23}$	$s_{24}$

$$S' =$$

$s_0'$	$s_1'$	$s_2'$	$s_3'$	$s_4'$
$s_5'$	$s_6'$	$s_7'$	$s_8'$	$s_9'$
$s_{10}'$	$s_{11}'$	$s_{12}'$	$s_{13}'$	$s_{14}'$
$s_{15}'$	$s_{16}'$	$s_{17}'$	$s_{18}'$	$s_{19}'$
$s_{20}'$	$s_{21}'$	$s_{22}'$	$s_{23}'$	$s_{24}'$

# Etapa de mapeamento $\pi$

$$P : S \longrightarrow S'$$



## Etapa de mapeamento $\pi$

- Esta etapa consiste em embaralhar as palavras no estado.



## Etapa de mapeamento $\pi$

- Esta etapa consiste em embaralhar as palavras no estado.

$$S =$$

$s_0$	$s_1$	$s_2$	$s_3$	$s_4$
$s_5$	$s_6$	$s_7$	$s_8$	$s_9$
$s_{10}$	$s_{11}$	$s_{12}$	$s_{13}$	$s_{14}$
$s_{15}$	$s_{16}$	$s_{17}$	$s_{18}$	$s_{19}$
$s_{20}$	$s_{21}$	$s_{22}$	$s_{23}$	$s_{24}$

# Etapa de mapeamento $\pi$

- Esta etapa consiste em embaralhar as palavras no estado.

$$S =$$

$s_0$	$s_1$	$s_2$	$s_3$	$s_4$
$s_5$	$s_6$	$s_7$	$s_8$	$s_9$
$s_{10}$	$s_{11}$	$s_{12}$	$s_{13}$	$s_{14}$
$s_{15}$	$s_{16}$	$s_{17}$	$s_{18}$	$s_{19}$
$s_{20}$	$s_{21}$	$s_{22}$	$s_{23}$	$s_{24}$

$$s_{0'} = \pi(s_0) = s_0$$

# Etapa de mapeamento $\pi$

- Esta etapa consiste em embaralhar as palavras no estado.

$$S =$$

$s_0$	$s_1$	$s_2$	$s_3$	$s_4$
$s_5$	$s_6$	$s_7$	$s_8$	$s_9$
$s_{10}$	$s_{11}$	$s_{12}$	$s_{13}$	$s_{14}$
$s_{15}$	$s_{16}$	$s_{17}$	$s_{18}$	$s_{19}$
$s_{20}$	$s_{21}$	$s_{22}$	$s_{23}$	$s_{24}$

$s_0$
-------

$$S' =$$

## Etapa de mapeamento $\pi$

- Esta etapa consiste em embaralhar as palavras no estado.

$$S =$$

$s_0$	$s_1$	$s_2$	$s_3$	$s_4$
$s_5$	$s_6$	$s_7$	$s_8$	$s_9$
$s_{10}$	$s_{11}$	$s_{12}$	$s_{13}$	$s_{14}$
$s_{15}$	$s_{16}$	$s_{17}$	$s_{18}$	$s_{19}$
$s_{20}$	$s_{21}$	$s_{22}$	$s_{23}$	$s_{24}$

$$s_{10'} = \pi(s_1) = s_1$$

$$s_0$$

$$S' =$$

# Etapa de mapeamento $\pi$

- Esta etapa consiste em embaralhar as palavras no estado.

$$S =$$

$s_0$	$s_1$	$s_2$	$s_3$	$s_4$
$s_5$	$s_6$	$s_7$	$s_8$	$s_9$
$s_{10}$	$s_{11}$	$s_{12}$	$s_{13}$	$s_{14}$
$s_{15}$	$s_{16}$	$s_{17}$	$s_{18}$	$s_{19}$
$s_{20}$	$s_{21}$	$s_{22}$	$s_{23}$	$s_{24}$

$s_0$
-------

$$S' =$$

$s_1$
-------

# Etapa de mapeamento $\pi$

- Esta etapa consiste em embaralhar as palavras no estado.

$$S =$$

$s_0$	$s_1$	$s_2$	$s_3$	$s_4$
$s_5$	$s_6$	$s_7$	$s_8$	$s_9$
$s_{10}$	$s_{11}$	$s_{12}$	$s_{13}$	$s_{14}$
$s_{15}$	$s_{16}$	$s_{17}$	$s_{18}$	$s_{19}$
$s_{20}$	$s_{21}$	$s_{22}$	$s_{23}$	$s_{24}$

$$s_{20'} = \pi(s_2) = s_2$$

$$s_0$$

$$s' = s_1$$

# Etapa de mapeamento $\pi$

- Esta etapa consiste em embaralhar as palavras no estado.

$$S =$$

$s_0$	$s_1$	$s_2$	$s_3$	$s_4$
$s_5$	$s_6$	$s_7$	$s_8$	$s_9$
$s_{10}$	$s_{11}$	$s_{12}$	$s_{13}$	$s_{14}$
$s_{15}$	$s_{16}$	$s_{17}$	$s_{18}$	$s_{19}$
$s_{20}$	$s_{21}$	$s_{22}$	$s_{23}$	$s_{24}$

$s_0$
-------

$$S' =$$

$s_1$
-------

$s_2$
-------

# Etapa de mapeamento $\pi$

- Esta etapa consiste em embaralhar as palavras no estado.

$$S =$$

$s_0$	$s_1$	$s_2$	$s_3$	$s_4$
$s_5$	$s_6$	$s_7$	$s_8$	$s_9$
$s_{10}$	$s_{11}$	$s_{12}$	$s_{13}$	$s_{14}$
$s_{15}$	$s_{16}$	$s_{17}$	$s_{18}$	$s_{19}$
$s_{20}$	$s_{21}$	$s_{22}$	$s_{23}$	$s_{24}$

$$s_{5'} = \pi(s_3) = s_3$$

$$s_0$$

$$s' = s_1$$

$$s_2$$



# Etapa de mapeamento $\pi$

- Esta etapa consiste em embaralhar as palavras no estado.

$$S =$$

$s_0$	$s_1$	$s_2$	$s_3$	$s_4$
$s_5$	$s_6$	$s_7$	$s_8$	$s_9$
$s_{10}$	$s_{11}$	$s_{12}$	$s_{13}$	$s_{14}$
$s_{15}$	$s_{16}$	$s_{17}$	$s_{18}$	$s_{19}$
$s_{20}$	$s_{21}$	$s_{22}$	$s_{23}$	$s_{24}$

$$S' =$$

$s_0$
$s_3$
$s_1$

$s_2$
-------

## Etapa de mapeamento $\pi$

- Esta etapa consiste em embaralhar as palavras no estado.

$$S =$$

$s_0$	$s_1$	$s_2$	$s_3$	$s_4$
$s_5$	$s_6$	$s_7$	$s_8$	$s_9$
$s_{10}$	$s_{11}$	$s_{12}$	$s_{13}$	$s_{14}$
$s_{15}$	$s_{16}$	$s_{17}$	$s_{18}$	$s_{19}$
$s_{20}$	$s_{21}$	$s_{22}$	$s_{23}$	$s_{24}$

$$s_{15'} = \pi(s_4) = s_4$$

$$S' =$$

$s_0$
$s_3$
$s_1$

$s_2$
-------

# Etapa de mapeamento $\pi$

- Esta etapa consiste em embaralhar as palavras no estado.

$$S =$$

$s_0$	$s_1$	$s_2$	$s_3$	$s_4$
$s_5$	$s_6$	$s_7$	$s_8$	$s_9$
$s_{10}$	$s_{11}$	$s_{12}$	$s_{13}$	$s_{14}$
$s_{15}$	$s_{16}$	$s_{17}$	$s_{18}$	$s_{19}$
$s_{20}$	$s_{21}$	$s_{22}$	$s_{23}$	$s_{24}$

$$S' =$$

$s_0$
$s_3$
$s_1$
$s_4$
$s_2$

## Etapa de mapeamento $\pi$

- Esta etapa consiste em embaralhar as palavras no estado.

$$S =$$

$s_0$	$s_1$	$s_2$	$s_3$	$s_4$
$s_5$	$s_6$	$s_7$	$s_8$	$s_9$
$s_{10}$	$s_{11}$	$s_{12}$	$s_{13}$	$s_{14}$
$s_{15}$	$s_{16}$	$s_{17}$	$s_{18}$	$s_{19}$
$s_{20}$	$s_{21}$	$s_{22}$	$s_{23}$	$s_{24}$

$$S' =$$

$s_0$	$s_6$	$s_{12}$	$s_{18}$	$s_{24}$
$s_3$	$s_9$	$s_{10}$	$s_{16}$	$s_{22}$
$s_1$	$s_7$	$s_{13}$	$s_{19}$	$s_{20}$
$s_4$	$s_5$	$s_{11}$	$s_{17}$	$s_{23}$
$s_2$	$s_8$	$s_{14}$	$s_{15}$	$s_{21}$

# Etapa de mapeamento $\pi$

- Esta etapa consiste em embaralhar as palavras no estado.

$$S =$$

$s_0$	$s_1$	$s_2$	$s_3$	$s_4$
$s_5$	$s_6$	$s_7$	$s_8$	$s_9$
$s_{10}$	$s_{11}$	$s_{12}$	$s_{13}$	$s_{14}$
$s_{15}$	$s_{16}$	$s_{17}$	$s_{18}$	$s_{19}$
$s_{20}$	$s_{21}$	$s_{22}$	$s_{23}$	$s_{24}$

$$S' =$$

$s_0'$	$s_1'$	$s_2'$	$s_3'$	$s_4'$
$s_5'$	$s_6'$	$s_7'$	$s_8'$	$s_9'$
$s_{10}'$	$s_{11}'$	$s_{12}'$	$s_{13}'$	$s_{14}'$
$s_{15}'$	$s_{16}'$	$s_{17}'$	$s_{18}'$	$s_{19}'$
$s_{20}'$	$s_{21}'$	$s_{22}'$	$s_{23}'$	$s_{24}'$

# Etapas de mapeamento

**Entrada:** Estado  $S$  e  $i_r$  o índice da rodada.

**Salida:** Estado  $S$  atualizado.

*Etapas de mapeamento  $\theta$*

- 1:  $C_y = s_{0+y} \oplus s_{5+y} \oplus s_{10+y} \oplus s_{15+y} \oplus s_{20+y}$  para  $0 \leq y < 5$
- 2:  $D_x = C_{(x-1) \bmod 5} \oplus (\text{ROT}(C_{(x+1) \bmod 5}, 1))$  para  $0 \leq x < 5$
- 3:  $s_{5x+y} = s_{5x+y} \oplus D_x$  para  $0 \leq x, y < 5$

*Etapas de mapeamento  $\rho$  e  $\pi$*

- 4:  $B_{(16x+10y) \bmod 25} = (\text{ROT}(s_{5x+y}, r_{5x+y}))$  para  $0 \leq x, y < 5$

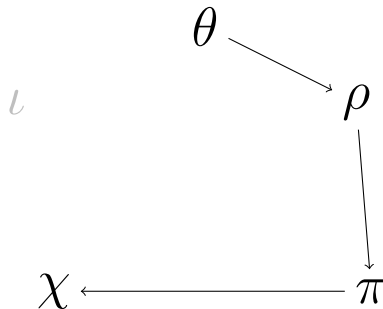
*Etapas de mapeamento  $\chi$*

*Etapas de mapeamento  $\iota$*

- 5: **return**  $S$

# Etapa de mapeamento $\chi$

$$P : S \longrightarrow S'$$



## Etapa de mapeamento $\chi$

- Nesta etapa uma função não linear é aplicada entre elementos da mesma linha.



## Etapa de mapeamento $\chi$

- Nesta etapa uma função não linear é aplicada entre elementos da mesma linha.

$$\begin{aligned}
 s'_0 &= s_0 \oplus (\neg s_1 \wedge s_2) \\
 s'_1 &= s_1 \oplus (\neg s_2 \wedge s_3) \\
 s'_2 &= s_2 \oplus (\neg s_3 \wedge s_4) \\
 s'_3 &= s_3 \oplus (\neg s_4 \wedge s_0) \\
 s'_4 &= s_4 \oplus (\neg s_0 \wedge s_1)
 \end{aligned}$$

# Etapas de mapeamento

**Entrada:** Estado  $S$  e  $i_r$  o índice da rodada.

**Salida:** Estado  $S$  atualizado.

## *Etapas de mapeamento $\theta$*

- 1:  $C_y = s_{0+y} \oplus s_{5+y} \oplus s_{10+y} \oplus s_{15+y} \oplus s_{20+y}$  para  $0 \leq y < 5$
- 2:  $D_x = C_{(x-1) \bmod 5} \oplus (\text{ROT}(C_{(x+1) \bmod 5}, 1))$  para  $0 \leq x < 5$
- 3:  $s_{5x+y} = s_{5x+y} \oplus D_x$  para  $0 \leq x, y < 5$

## *Etapas de mapeamento $\rho$ e $\pi$*

- 4:  $B_{(16x+10y) \bmod 25} = (\text{ROT}(s_{5x+y}, r_{5x+y}))$  para  $0 \leq x, y < 5$

## *Etapas de mapeamento $\chi$*

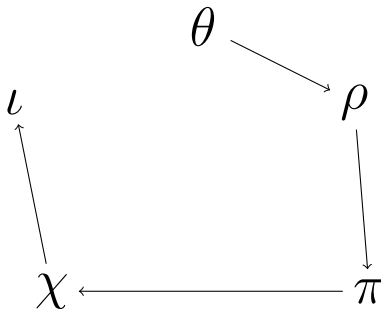
- 5: **for all**  $(x, y)$  tal que  $0 \leq x, y < 5$  **do**
- 6:  $T = (B_{5x+(y+2) \bmod 5}) \wedge (\neg B_{5x+(y+1) \bmod 5})$
- 7:  $s_{5x+y} = B_{5x+y} \oplus T$

## *Etapas de mapeamento $\iota$*

- 8: **return**  $S$

Etapa de mapeamento  $\iota$ 

$$P : S \longrightarrow S'$$



## Etapa de mapeamento $\iota$

- Nesta etapa, uma operação XOR é aplicada entre o primeiro elemento do estado e uma constante.

## Etapa de mapeamento $\iota$

- Nesta etapa, uma operação XOR é aplicada entre o primeiro elemento do estado e uma constante.

$$\boxed{s'_0} = \boxed{s_0} \oplus \boxed{\text{const}}$$

# Pseudocódigo da permutação $P$

---

**Entrada:** Estado  $S$  e  $i_r$  o índice da rodada.

**Salida:** Estado  $S$  atualizado.

*Etapas de mapeamento  $\theta$*

- 1:  $C_y = s_{0+y} \oplus s_{5+y} \oplus s_{10+y} \oplus s_{15+y} \oplus s_{20+y}$  para  $0 \leq y < 5$
- 2:  $D_x = C_{(x-1) \bmod 5} \oplus (\text{ROT}(C_{(x+1) \bmod 5}, 1))$  para  $0 \leq x < 5$
- 3:  $s_{5x+y} = s_{5x+y} \oplus D_x$  para  $0 \leq x, y < 5$

*Etapas de mapeamento  $\rho$  e  $\pi$*

- 4:  $B_{(16x+10y) \bmod 25} = (\text{ROT}(s_{5x+y}, r_{5x+y}))$  para  $0 \leq x, y < 5$

*Etapas de mapeamento  $\chi$*

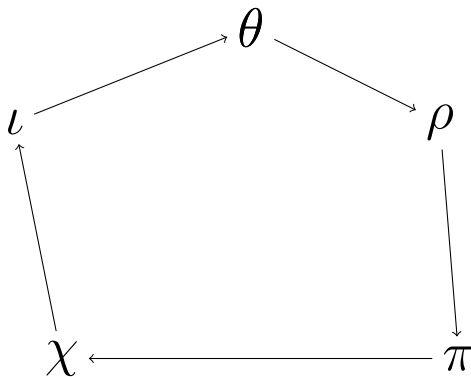
- 5: **for all**  $(x, y)$  tal que  $0 \leq x, y < 5$  **do**
- 6:      $T = (B_{5x+(y+2) \bmod 5}) \wedge (\neg B_{5x+(y+1) \bmod 5})$
- 7:      $s_{5x+y} = B_{5x+y} \oplus T$

*Etapas de mapeamento  $\iota$*

- 8:  $s_0 = s_0 \oplus rc(i_r)$
  - 9: **return**  $A$
-

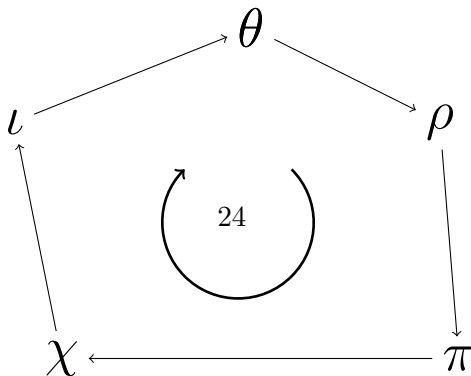
Permutação  $P$ 

$$P : S \longrightarrow S'$$



# Permutação $P$

$$P : S \longrightarrow S'$$





# Oportunidades de otimização

- No pseudocódigo apresentado, além das 25 palavras que representam o estado  $S$ , são usadas outras 25 palavras para armazenar o estado após as etapas de mapeamento  $\rho$  e  $\pi$ .

# Oportunidades de otimização

- No pseudocódigo apresentado, além das 25 palavras que representam o estado  $S$ , são usadas outras 25 palavras para armazenar o estado após as etapas de mapeamento  $\rho$  e  $\pi$ .
- A maioria das arquiteturas de 64 bits possuem apenas 16 registradores de propósito geral.

# Oportunidades de otimização

- No pseudocódigo apresentado, além das 25 palavras que representam o estado  $S$ , são usadas outras 25 palavras para armazenar o estado após as etapas de mapeamento  $\rho$  e  $\pi$ .
- A maioria das arquiteturas de 64 bits possuem apenas 16 registradores de propósito geral.
- Uma estratégia para acelerar a execução dessa função é processar as etapas de  $\rho$ ,  $\pi$  e  $\chi$  de forma modular.

# Pseudocódigo modular

---

**Entrada:** Estado  $S$  depois da etapa de mapeamento  $\theta$ .

**Salida:** Estado  $S$  depois de processado pelas etapas  $\rho$ ,  $\pi$  e  $\chi$ .

```

1:  $T'_0 = s_0 \lll 0$ 
2:  $T'_1 = s_6 \lll 44$ 
3:  $T'_2 = s_{12} \lll 43$ 
4:  $T'_3 = s_{18} \lll 21$ 
5:  $T'_4 = s_{24} \lll 14$ 
6:  $s_0 = T'_0 \oplus (\neg T'_1 \wedge T'_2)$ 
7:  $s_{12} = T'_1 \oplus (\neg T'_2 \wedge T'_3)$ 
8:  $s_{24} = T'_2 \oplus (\neg T'_3 \wedge T'_4)$ 
9:  $s_6 = T'_3 \oplus (\neg T'_4 \wedge T'_0)$ 
10:  $s_{18} = T'_4 \oplus (\neg T'_0 \wedge T'_1)$ 
11: return  $A$ 

```

---

# Pseudocódigo modular

---

**Entrada:** Estado  $S$  depois da etapa de mapeamento  $\theta$ .

**Salida:** Estado  $S$  depois de processado pelas etapas  $\rho$ ,  $\pi$  e  $\chi$ .

1: $T'_0 = s_0 \lll 0$	$T''_0 = s_3 \lll 28$
2: $T'_1 = s_6 \lll 44$	$T''_1 = s_9 \lll 20$
3: $T'_2 = s_{12} \lll 43$	$T''_2 = s_{10} \lll 3$
4: $T'_3 = s_{18} \lll 21$	$T''_3 = s_{16} \lll 45$
5: $T'_4 = s_{24} \lll 14$	$T''_4 = s_{22} \lll 61$
6: $s_0 = T'_0 \oplus (\neg T'_1 \wedge T'_2)$	$s_{16} = T''_0 \oplus (\neg T''_1 \wedge T''_2)$
7: $s_{12} = T'_1 \oplus (\neg T'_2 \wedge T'_3)$	$s_3 = T''_1 \oplus (\neg T''_2 \wedge T''_3)$
8: $s_{24} = T'_2 \oplus (\neg T'_3 \wedge T'_4)$	$s_{10} = T''_2 \oplus (\neg T''_3 \wedge T''_4)$
9: $s_6 = T'_3 \oplus (\neg T'_4 \wedge T'_0)$	$s_{22} = T''_3 \oplus (\neg T''_4 \wedge T''_0)$
10: $s_{18} = T'_4 \oplus (\neg T'_0 \wedge T'_1)$	$s_9 = T''_4 \oplus (\neg T''_0 \wedge T''_1)$
11: <b>return</b> $A$	

---

# Pseudocódigo modular

---

**Entrada:** Estado  $S$  depois da etapa de mapeamento  $\theta$ .

**Salida:** Estado  $S$  depois de processado pelas etapas  $\rho$ ,  $\pi$  e  $\chi$ .

1: $T'_0 = s_0 \lll 0$	$T''_0 = s_3 \lll 28$	$T'''_0 = s_1 \lll 1 \dots$
2: $T'_1 = s_6 \lll 44$	$T''_1 = s_9 \lll 20$	$T'''_1 = s_7 \lll 6 \dots$
3: $T'_2 = s_{12} \lll 43$	$T''_2 = s_{10} \lll 3$	$T'''_2 = s_{13} \lll 25 \dots$
4: $T'_3 = s_{18} \lll 21$	$T''_3 = s_{16} \lll 45$	$T'''_3 = s_{19} \lll 8 \dots$
5: $T'_4 = s_{24} \lll 14$	$T''_4 = s_{22} \lll 61$	$T'''_4 = s_{20} \lll 18 \dots$
6: $s_0 = T'_0 \oplus (\neg T'_1 \wedge T'_2)$	$s_{16} = T''_0 \oplus (\neg T''_1 \wedge T''_2)$	$s_7 = T'''_0 \oplus (\neg T'''_1 \wedge T'''_2) \dots$
7: $s_{12} = T'_1 \oplus (\neg T'_2 \wedge T'_3)$	$s_3 = T''_1 \oplus (\neg T''_2 \wedge T''_3)$	$s_{19} = T'''_1 \oplus (\neg T'''_2 \wedge T'''_3) \dots$
8: $s_{24} = T'_2 \oplus (\neg T'_3 \wedge T'_4)$	$s_{10} = T''_2 \oplus (\neg T''_3 \wedge T''_4)$	$s_1 = T'''_2 \oplus (\neg T'''_3 \wedge T'''_4) \dots$
9: $s_6 = T'_3 \oplus (\neg T'_4 \wedge T'_0)$	$s_{22} = T''_3 \oplus (\neg T''_4 \wedge T''_0)$	$s_{13} = T'''_3 \oplus (\neg T'''_4 \wedge T'''_0) \dots$
10: $s_{18} = T'_4 \oplus (\neg T'_0 \wedge T'_1)$	$s_9 = T''_4 \oplus (\neg T''_0 \wedge T''_1)$	$s_{20} = T'''_4 \oplus (\neg T'''_0 \wedge T'''_1) \dots$
11: <b>return</b> $A$		

---

# Vantagens da implementação modular

- Redução do número de registradores usados.

# Vantagens da implementação modular

- Redução do número de registradores usados.
- Melhora significativa na localidade temporal dos dados.



## Vantagens da implementação modular

- Redução do número de registradores usados.
- Melhora significativa na localidade temporal dos dados.
- Aumento do paralelismo.

# Vantagens da implementação modular

- Redução do número de registradores usados.
- Melhora significativa na localidade temporal dos dados.
- Aumento do paralelismo.

# Vantagens da implementação modular

- Redução do número de registradores usados.
- Melhora significativa na localidade temporal dos dados.
- Aumento do paralelismo.

Comparação de desempenho entre as duas versões

Implementação	Ciclos por bytes
Não Otimizada	24,09
Versão Modular	8,99

# Funções de Resumo



**Universidade Federal do Ceará - Campus Quixadá**

Roberto Cabral  
rbcabral@ufc.br

05 de Maio de 2023

Auditoria e Segurança de SI